

遠心力を利用した斜面安定実験(第3報)

大阪市立大学工学部 正員 三笠正人

“” 高田直俊

名古屋大学工学部 “” 口山田泰治

この論文は遠心力を利用した一連の斜面安定実験のうち、ロックフィルダムの模型実験について報告するものである。

実験装置の概要と実験方法

実験装置は第1報、第2報が報告したものと同一のものである。概略は図-1に示すところ2個の供試体容器を2本の回転桿の先に対称に取り付け、無段変速機を介して5HPのモータード回転させる。発生加速度は部材強度から最大200gである。供試体容器は回転中に図に示した傾斜機構で±0.3までの任意の傾斜角をえることができる。供試体容器は図-2に示すように両側は硬地ガラス張りで大密構造になつてゐる。容器の下部はボックス構造を利用して水槽で、中空回転軸を通して外部から送られる圧縮空気で水槽中の水を供試体部に出入入れして供試体水位を自由に変えられるようになつてゐる。

観測はストロボを用い、ストロボの発光周期と供試体の回転に同調させて供試体五一見静止状態にて観察、真撮影を行なつた。

実験は図-3の実際のダム断面を基準にして次の2通りの実験を行なつた。

①水平加速度による破壊実験。模型材料はウッド料であるから鉛直加速度を増しただけでは斜面を破壊せることはできないので供試体容器を傾斜させ、斜面上に地震力相当の静的な水平加速度をもつて破壊に至らしめ、安定性を検討する。

②水位急降下によるダム堤体の安定。水位降下時間は向かき比を実物と同じにすれば物理量の相似則から次の式で表わされる。

$$t_m = \frac{n}{\alpha} \cdot \frac{k_p}{k_m} \cdot t_p$$

ここで t_m : 降下所要時間、 n : 進水係数、 α : 縮尺、 α : 加速度比、添字 m , p はそれぞれ模型、実物を示す。実験は表-3の水位降下速度で行なつた。

模型ダム断面は図-3をもとに1/200の縮尺模型とした。これに重力加速度の200倍の加速度を加えれば実際と同じ応力状態になるはずである。図のハッチ部が模型に対応する部分である。実物はロック部、フィルター部、コア部を有するが、模型ではフィルター部とコア部をまとめてコア部として

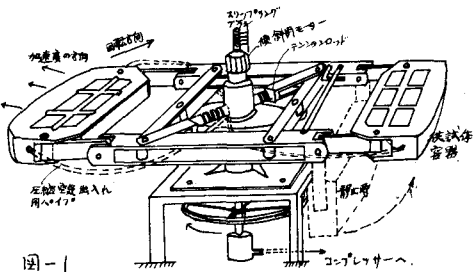


図-1

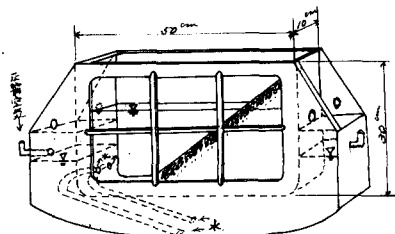


図-2

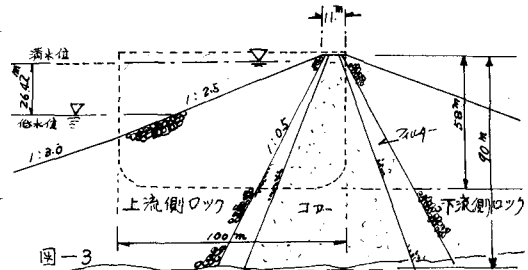


図-3

た。またロック材のみで作られた模型斜面にについて実験を行なつた。ノリニウムはダム模型にリマタ $1:2.5$, $1:2.0$, $1:1.5$, $1:1.25$, $1:1.0$ の 5 通り、ロック材のみの斜面について

は $1:1.5$, $1:1.25$, $1:1.0$, $1:0.5$, $1:0.3$ の 5 通りである。ノリニウム形状は直線、および回転軸を中心とする対数二線(加速度の方向に対して一定ニウムとなる)を用い、加速度は $1/200$ g の向で実験を行なつた。傾斜実験はダムに火がある場合(水中状態とよぶ)、なり湯台(空気中状態とよぶ)の両方にについて行なつた。

模型のロック材はロック I ~ IV の 4 種で、ロック I は実際のダムのロック材を相似な粒度分布で粒径を $1/200$ mm になるよう破碎して配合したものである。ロック II はロック I の 0.074 mm 以下を含まないもの、ロック III, IV はそれぞれ 0.48 , 0.85 mm 以下を含まないものである。コア材は砂岩の風化した実際のコア材の 0.98 mm 以下の通過分をそのまま用いた。粒度分布を図一九に、三軸試験結果を表一に示す。

模型の作製は表一に示す密度を得るようになりますが、それを調整、計量した材料を 2.3 m^3 づつ水平な層にホツチでたたきながら締め固めて作つた。水中状態で実験する場合には供試体容器に水を満たしコア部に吸引チューブを挿入して真空ポンプで空気を吹き出し、一晩以上水させてからだけ飽和するふうにしておく(図一五)。飽和度は平均 95% 程度である。

実験結果と考察

実験結果について定量的に求まるものは破壊時ノリ角度だけであるが、そのほか観察から得られた事柄をまとめて述べる。

1. 斜面の破壊型式 ----- 実験 I ~ IV に示すように破壊型式はすべて表面すべりである。コア部や下流部を含む模型の場合でも斜面内部を通る破壊面は見られなかつた。破壊の様子は空気中の場合と水中の場合とは異なり、傾斜(密度)を増していくと空気中の場合はある傾斜が一気に表面の滑落が起ころが、水中の場合には限界傾斜角に達してのち傾斜とともに少しずつずつに滑落を生じる。ダム模型の場合コア部は自重により圧縮されて天端で最大 1 cm の沈下が見られるが、このことが破壊に影響したとは思ひたくない。

2. 水位降下の影響 ----- 水位降下実験を表一に示す時間で行なつたが、全く破壊を生じる気配はなかつた。そこでまず模型を崩壊直前の傾斜にしておいて、可能な限り短時間(約 8 秒)で水位を下げるが、それでも破壊は生じなかつた(写真一五・六)。この結果から実物の遮水保敷か上の仮定値よりも著しく小さくなければ堤体内の残留水位は必ずしも、斜面の安定に対する水位急降下の影響はないといつてよい。

表一 締め固め密度、含水比

	D _r (%)	W (%)	Sr (%)	G _s
ロック I	1.91	7	45.1	2.731
	1.89	"	43.6	
	1.87	"	42.1	
ロック II	1.80	7	37.4	
ロック III	1.59	7		
ロック IV	1.63	7		
砂質土コア材	1.60	11.5	46.4	2.650

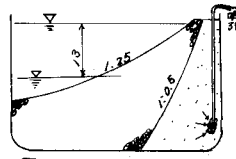
*印は同一エキスで締め固めたときのみ。

表二 三軸試験結果(排水試験)

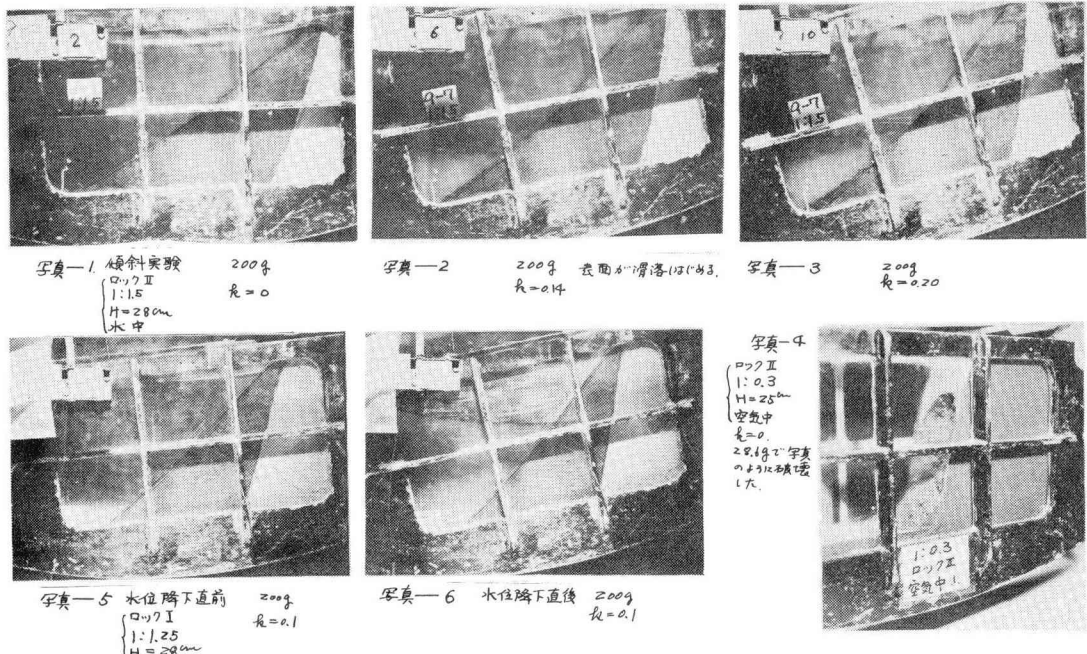
	D _r (%)	W (%)	C (%)	φ°
ロック I	1.91	0.42	飽和	5/12 38
ロック II	1.80	0.51	飽和	5/12 34.5
"	"	7%	"	10 40
コア材	1.60	0.65	飽和	5/10 35.5

表三 水位降下時間

実物	V ₁	V ₂	加速度	遮水保敷	所要時間	水位降下量
実物	1/1	1/1	1.0 m/sec^2	6 時間	26 m	13 cm
	1/200	200	200g	3.3 $\times 10^{-4}$	27 分	
模型	1/200	200	200g	5 $\times 10^{-3}$	1.8 分	



図一五



3. 破壊ノリ角度に影響を与える因子について-----この一連の実験では破壊型式が表面すべりだけであるので、実験条件によって破壊ノリ角度がどのように変化するかを調べる。破壊ノリ角度とはノリ面が滑落したときの加速度方向に対する垂直な面からの角度、直線ノリ形状の場合には場所によつてかなり異なるので一番大きいノリ先部の値を採用。

④. 水中、空気中のちがい：水中、空気中の差を見るために行なった実験結果を材料別に整理して図-6に示す。ロックⅡ、Ⅲは空气中では見かけの粘着力が付り左が、水中ではこれがなくなつて右。ロックⅣは細粒分を多くので水中、空气中とも同じ破壊ノリ角度を得て左。

⑤. 加速度について：完全な中材料では加速度（すなわち応力）にかかる必ず一定の破壊ノリ角度を有するはずであるが、見かけ上に有する材料もあり、ダイレクトユニット応力によって異なるので加速度の大きさが破壊にどう影響するかを調べた。図-7は加速度の大きさをノリ高さに換算してこれと破壊ノリ角度との関係を示したものである。水中状態では加速度の大きさによる差は見られないが、空中状態ではかなり差があり、ノリ高さすなわち加速度が大きくなれば破壊ノリ角度が小さくなつて左。これは④で述べた見かけのCの影響であろう。破壊はりが水を表面すべりで表面附近の応力はあまり大きくなりないので、ダイレクトユニット等のせん断特性を考慮したままでに至つて左である。

⑥. ノリ形状について：図-8はノリ形状と破壊ノリ角度の関係を示したものである。ノリ形状が小さくなつれて、ひずみの材料については破壊ノリ形状が小さくなる傾向がみられる。この原因としてノリの上下の部分が破壊時に異常に硬さをもつための応力状態のすがりが一応考えられる。図-7によれば直線ノリ形の方が対数ラ線のものに比較して大きな破壊ノリ角になつて左。

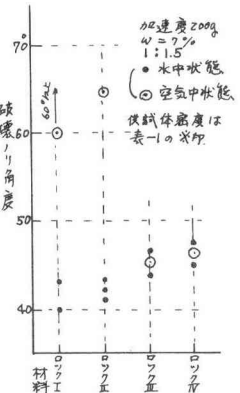


図-6

これは破壊が加速度に対して最もクリップ配の大きいところ先から発生するが、こゝ部分は底面の拘束を受けるためであろう。

斜面安定計算との比較

図-9・10の代表的なダム断面について、震度0と実験による破壊震度（それと水頭=0.14, $k=0.06$ ）に達した場合について図の円弧に対して安全率を求めた。大半ではCは期待できないのでC=0として、表-2

の値を用いた。計算方法はスライス両力を考へない通常の分割法とBishop法によった。結果を表-5・6に示す。これらの方法はいずれも近似的なもののであるが、いずれも表面に近いほど安全率は小さくなつて実験結果と予算はない。表面すべりに対する安全率と半無限斜面の安全率として考えると両方とも1.0を下まつてゐる。こゝ左三軸試験によるのが小さめに出ると考へて、破壊ノク角度を $\phi + 17^\circ$ 計算すると(5)中の値となる。

まとめ

以上の実験結果をまとめれば次のようになる。

- ① 破壊は表面に沿うすべり破壊で内部を遮るものはないがかった。
- ② 一般に行なわれてゐる計算法で、実験結果ある程度説明でき。

③ この実験で用いたロック材は含水状態によってせんれん試験では説明できぬことはある。

④ 実験によれば、次ふる左右条件の下では水位降下による斜面の破壊が生じた。

あとがき

今回はロックフィルダムといふは

さりとて目標をもつて実験を行なつた。えり状態については実際と等しくすると考へざるが、材料の相候性については、今回は相候性にするというだけにとどめた。この点今後の課題となり。

最後にこの研究は奥田博士の援助を蒙れた。また実験には本学大谷院望月君、住宅公團川端君の協力を受けた。

参考文献 三笠、高田、山田、遠心力を利用した斜面安定実験 第1報 第2回土木研究発表会 1967 第2報 第3回 “”

未井在七郎 水理學。

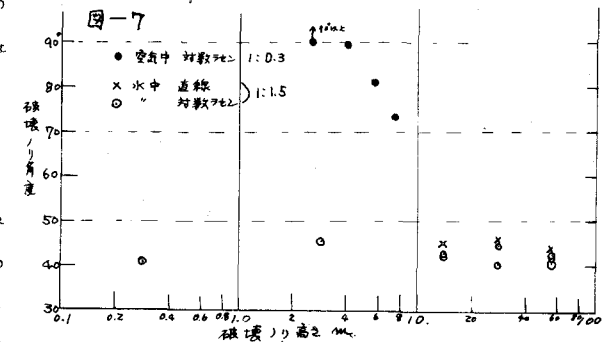


図-7

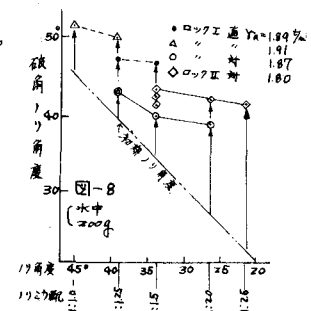


表-4 斜面の安全率

分割法		Bishopの方法	
円弧	$\theta = 0$, $k = 0$	$\theta = 0$, $k = 0$	$\theta = 0$, $k = 0$
表面	0.945	1.258	1.26
(1.00)	(1.03)	(0.945)	1.26
①	0.946	1.316	1.34
②	0.950	1.350	1.42
③	0.959	1.424	1.57
④	0.959	1.576	1.70
⑤	1.005	1.905	2.25
	(1.239)		

表-5

分割法		Bishopの方法	
円弧	$\theta = 0.6$, $k = 0$	$\theta = 0.6$, $k = 0$	$\theta = 0.6$, $k = 0$
表面	0.863	1.049	1.049
(1.00)	(1.103)	(0.957)	1.049
①	0.914	0.993	1.00
②	0.939	1.024	1.07
③	0.962	1.075	1.17

表面は半無限斜面にて計算した。

飽和度 ロック部 100%
→ア部 95%

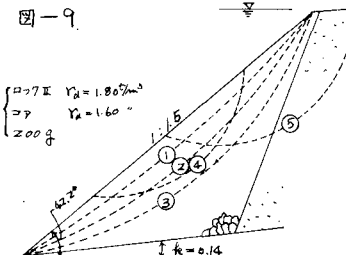


図-9

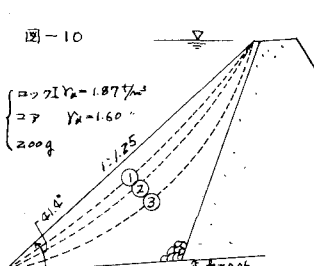


図-10